

## A5 - Material suplementario: Recorrido por Hv1: un canal selectivo de protones

En esta sección se anexan figuras de los distintos procedimientos.

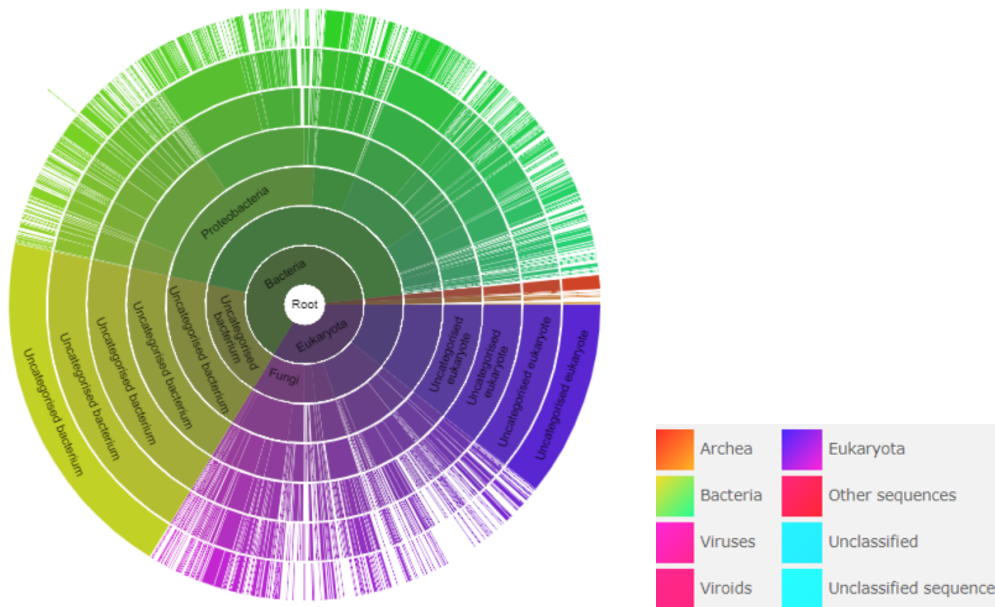


FIGURA A1. Distribución del dominio de transporte de iones en distintas especies.

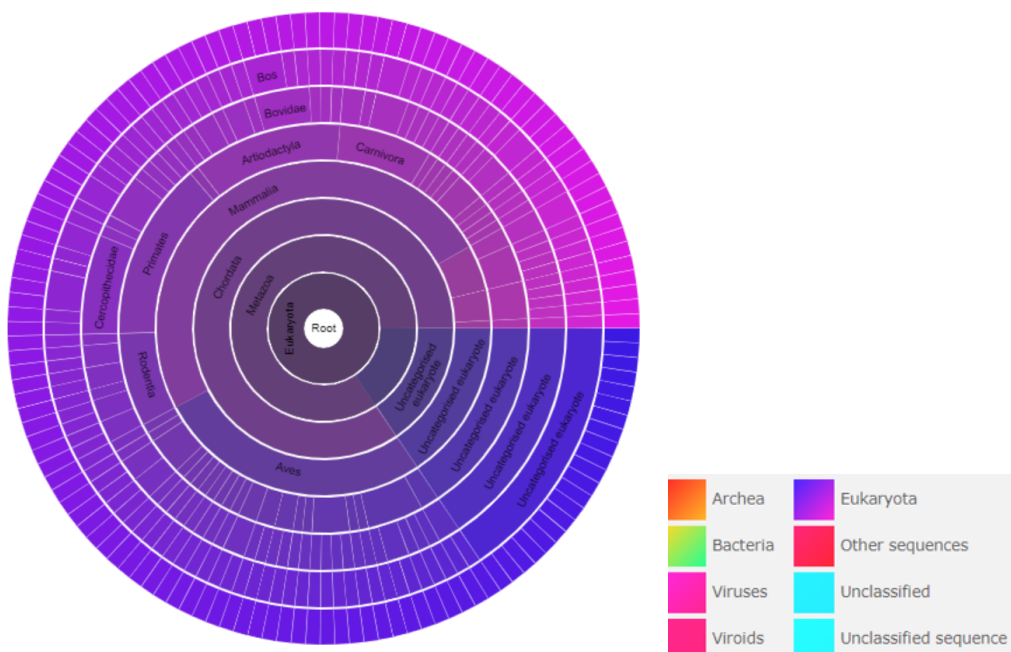


FIGURA A2. Distribución de la región C-terminal del canal de protones voltaje operado en distintas especies.

```

# sp|Q96D96|HVCN1_HUMAN Length: 273
# sp|Q96D96|HVCN1_HUMAN Number of predicted TMHs: 3
# sp|Q96D96|HVCN1_HUMAN Exp number of AAs in TMHs: 70.99847
# sp|Q96D96|HVCN1_HUMAN Exp number, first 60 AAs: 0.00035
# sp|Q96D96|HVCN1_HUMAN Total prob of N-in: 0.89918
sp|Q96D96|HVCN1_HUMAN TMHMM2.0 inside 1 100
sp|Q96D96|HVCN1_HUMAN TMHMM2.0 TMhelix 101 123
sp|Q96D96|HVCN1_HUMAN TMHMM2.0 outside 124 137
sp|Q96D96|HVCN1_HUMAN TMHMM2.0 TMhelix 138 160
sp|Q96D96|HVCN1_HUMAN TMHMM2.0 inside 161 171
sp|Q96D96|HVCN1_HUMAN TMHMM2.0 TMhelix 172 191
sp|Q96D96|HVCN1_HUMAN TMHMM2.0 outside 192 273

```

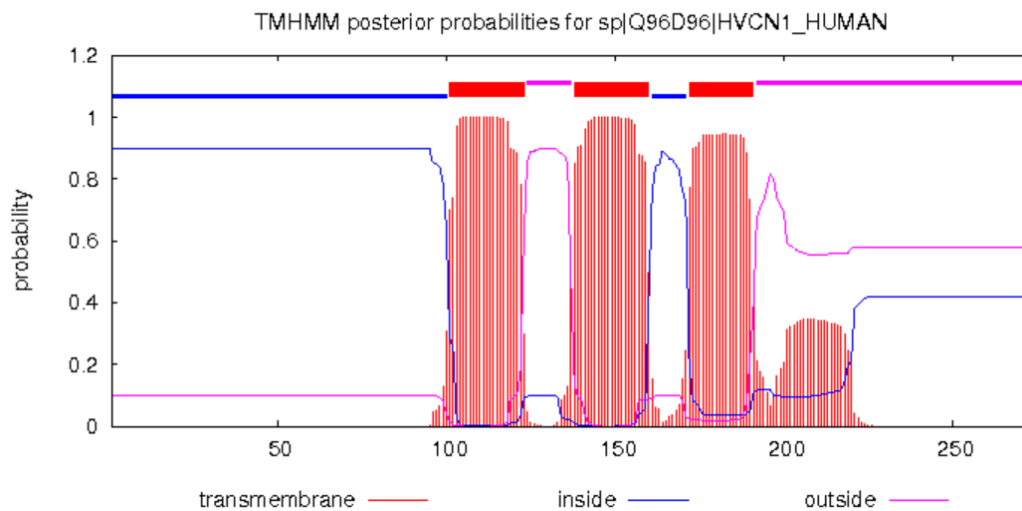


FIGURA A3. Predicción de regiones transmembrana con [www.cbs.dtu.dk](http://www.cbs.dtu.dk)

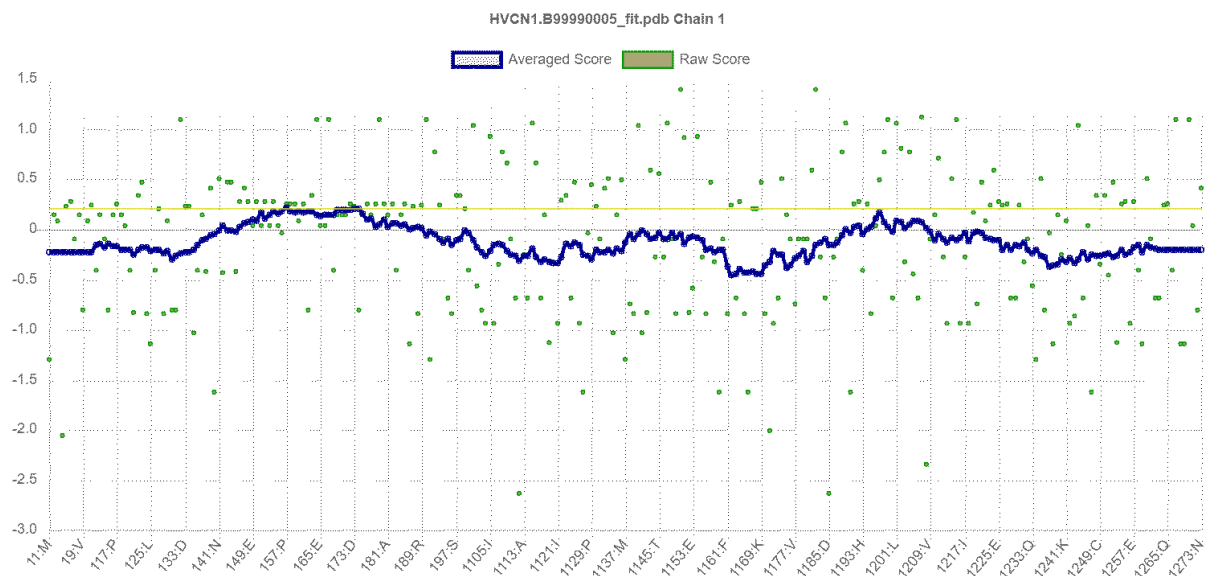


FIGURA A4. Resultado de Verify como un Plot.